

О ПОДОБИИ УДАРНЫХ ВОЛН ПРИ ВЗРЫВЕ СФЕРИЧЕСКИХ ЗАРЯДОВ В ВОДЕ И В ВОЗДУХЕ

Б. Д. Христофоров

(Москва)

Анализ опубликованных экспериментальных данных [1–3] полученных при взрывах сферических зарядов в воде и в воздухе, показывает, что в отличие от случая взрыва в воздухе все параметры ударной волны в воде зависят от плотности взрывчатых веществ (ВВ); при этом оказывается, что критерии энергетического подобия не выполняются.

Ниже приводятся результаты определения эмпирических законов подобия при взрыве в воде и в воздухе.

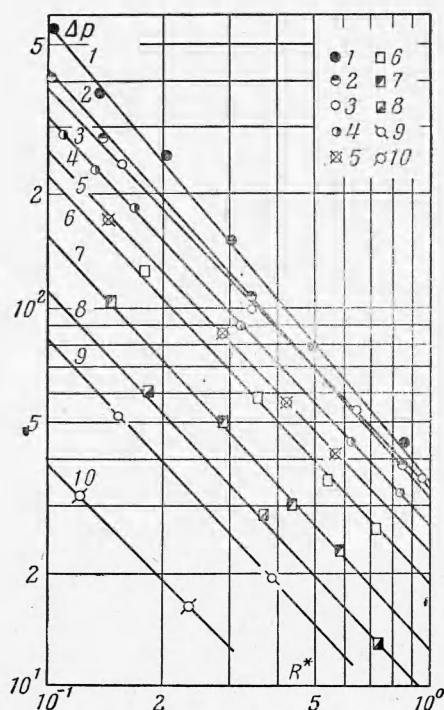
Обозначения

R — расстояние до центра взрыва, м;	a — скорость звука в среде; м / сек;
R_0 — радиус источника взрыва, м;	ρ — плотность среды, кг / м ³ ;
r — относительное расстояние до центра взрыва;	ρ_0 — плотность ВВ, кг / м ³ ;
c — масса (ВВ), кг;	Δp — максимальное давление, атм;
Q — удельная теплота взрыва, ккал / кг;	I — удельный импульс, кгсек / м ² ;
cQ — энергия взрыва, ккал;	τ_a — время действия ударной волны, сек;
	n — показатель политропы воды.

Если при взрыве какого-либо ВВ параметры его детонации не зависят от размера заряда и не происходит догорания продуктов, то имеет место закон геометрического подобия, согласно которому параметры ударной волны являются функциями относительного расстояния $r = R/R_0$ от источника

$$\frac{\Delta p}{\rho a^2} = f(r), \quad \frac{I}{R_0 \rho a} = \psi(r) \quad \frac{\tau_a}{R_0} = \varphi(r) \quad (r \geq 1) \quad (1)$$

Формулы (1) следуют из уравнений гидродинамики и подтверждаются опытным [1–4].



Фиг. 1. Зависимость максимального давления ударной волны Δp кг/см² от приведенного расстояния $R^* = R / \sqrt{cQ}$ м/ккал^{3/2}

для подводного взрыва: 1 — тэн, $\rho_0 = 1600$ кг/м³, $Q = 1400$ ккал/кг; 2 — тэн, $\rho_0 = 400$ кг/м³, $Q = 1400$ ккал/кг; 3 — азид свинца, $\rho_0 = 1600$ кг/м³, $Q = 365$ ккал/кг; 4 — азид свинца, $\rho_0 = 850$ кг/м³, $Q = 365$ ккал/кг; 5 — 10 — взрывы зарядов тэн, $\rho_0 = 1600$ кг/м³ в полостях с воздухом, соответственно:

- 5 — ($R_0 = 1.85$ см, $cQ = 1.17$ ккал)
- 6 — ($R_0 = 1.85$ см, $cQ = 0.59$ ккал)
- 7 — ($R_0 = 4.17$ см, $cQ = 1.12$ ккал)
- 8 — ($R_0 = 4.37$ см, $cQ = 0.56$ ккал)
- 9 — ($R_0 = 8$ см, $cQ = 1.12$ ккал)
- 10 — ($R_0 = 12$ см, $cQ = 1.12$ ккал)

В практике нашел широкое применение закон энергетического подобия, впервые полученный М. А. Садовским из анализа экспериментальных данных о параметрах ударной волны при взрыве различных ВВ в воздухе

$$\frac{\Delta p / \rho a^2}{I / \rho a R_*} = f_1(R_* / R) \quad (R_* = \sqrt[3]{cQ / \rho a^2}) \quad (2)$$

$$\frac{\tau_a / R_*}{R_*} = \varphi_1(R_* / R) \quad (r > 15)$$

Согласно формулам (2), параметры ударной волны являются функциями лишь одной безразмерной переменной R_*/R и не зависят от размера источника взрыва и плотности заряжания.

М. А. Садовским было отмечено [4], что закон энергетического подобия при малых скоростях v выделения энергии в источнике взрыва может не выполняться, однако, зависимость параметров ударной волны от величины v им не изучалась.

Исследование параметров фронта ударной волны в воздухе при взрыве зарядов из тэна и азота свинца разной плотности показало [2], что закон энергетического подобия при взрыве этих ВВ выполняется. Скорость v выделения энергии в источнике взрыва в указанных опытах изменялась в пределах 1.67 \div 0.256 ккал / м²сек, что охватывает все возможные значения v у любых известных твердых и жидкых ВВ.

При подводном взрыве ВВ закон энергетического подобия не выполняется [1, 3]. Параметры ударной волны зависят от плотности и теплоты взрыва ВВ. Для иллюстрации на фиг. 1 и 2 построены графики зависимостей

$$\Delta p = f(R^*), \quad I^* = \Phi(R^*)$$

$$R^* = R / V c Q^{1/3}, \quad I^* = I / V c Q^{1/3}$$

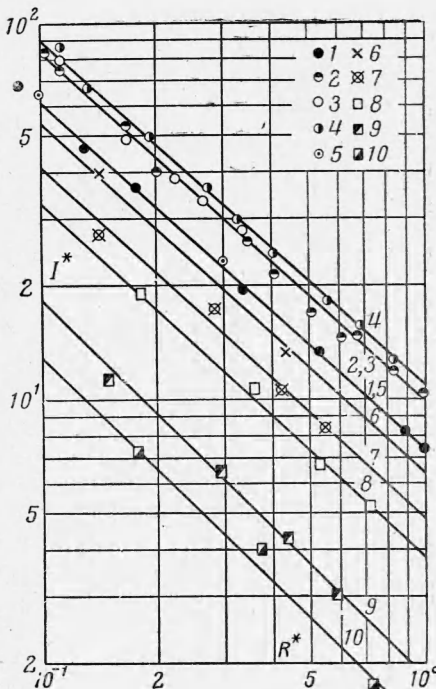
при взрыве различных источников в воде.

При анализе экспериментальных данных воспользуемся методами теории размерностей.

Фиг. 2. Зависимость приведенного удельного импульса

$$I^* = I / V c Q^{1/3} \text{ кгсек}/\text{м}^2 \text{ккал}^{1/3}$$

от расстояния $R^* = R / V c Q^{1/3}$ м/ккал^{1/3} при подводном взрыве. Кривые 1—4 — взрывы зарядов из тэна $\rho_0 = 1600$ и 400 кг/м³ и азота свинца $\rho_0 = 1600$ и 850 кг/м³ соответственно; кривые 5—10 — взрывы зарядов из тэна $\rho_0 = 1600$ кг/м³ в центре сферических полостей с воздухом соответственно
 $(R_0 = 1.25 \text{ см}, cQ = 1.17 \text{ ккал})$
 $(R_0 = 1.85 \text{ см}, cQ = 3.32 \text{ ккал})$
 $(R_0 = 1.85 \text{ см}, cQ = 1.18 \text{ ккал})$
 $(R_0 = 1.85 \text{ см}, cQ = 0.59 \text{ ккал})$
 $(R_0 = 4.17 \text{ см}, cQ = 1.12 \text{ ккал})$
 $(R_0 = 4.38 \text{ см}, cQ = 0.56 \text{ ккал})$



Выпишем систему определяющих параметров при взрыве источника в среде

$$Q, R_0, \rho_0 = \frac{3c}{4\pi R_0^3}, \rho, a, R, n, t \quad (3)$$

Из них можно составить следующие безразмерные комбинации:

$$r = R/R_0, \quad ta/R_0, \quad Q/a^2, \quad \rho_0/\rho, \quad n \quad (4)$$

Между r и ta/R_0 на фронте имеется функциональная связь, поэтому система независимых определяющих параметров будет

$$r, n, \rho_0/\rho, Q/a^2 \quad (5)$$

Следовательно

$$\Delta p/\rho a^2 = F(r, Q/a^2, \rho_0/\rho, n)$$

В случае подводного взрыва

$$\frac{\Delta p}{\rho a^2} \sim \frac{k}{r^\nu} \quad \text{при } \Delta p < 1000 \text{ atm} \quad (\nu = 1.2 \div 1) \quad (6)$$

Здесь k зависит от свойств источника взрыва и среды. Так как $n = \text{const}$, то $k = \Psi(Q/a^2, \rho_0/\rho)$

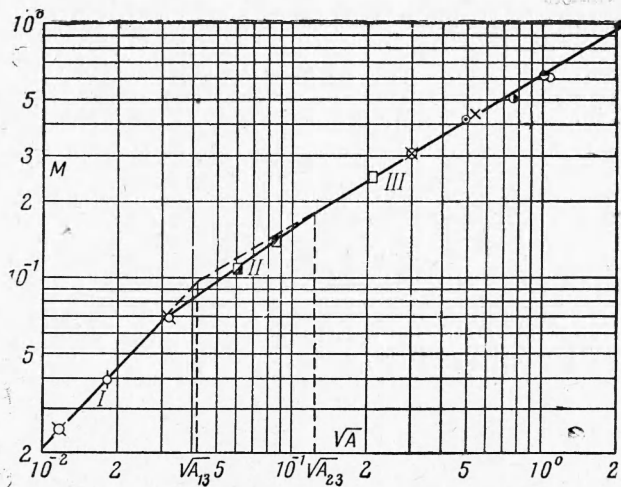
Из анализа экспериментальных данных (1,3) следует, что зависимость параметров ударной волны от Q/a^2 и ρ_0/ρ определяется функцией от их произведения

$$A = \frac{Q\rho_0}{\rho a^2} = \frac{3cQ}{4\pi R_0^3 \rho a^2}$$

которое представляет собой относительную объемную плотность энергии взрыва. Поэтому

$$\frac{\Delta p}{\rho a^2} \sim \frac{\Psi(A)}{r^\nu} \quad (7)$$

Так как максимальное давление ударной волны будет лишь функцией двух переменных A и r , то оно не зависит от массы ВВ и определяется его энергией cQ , радиусом источника R_0 и расстоянием до центра взрыва R . Ниже будет показано, что этот факт имеет место и для остальных параметров ударной волны.



Фиг. 3. Кривая для определения областей физического подобия при подводном взрыве по максимальному давлению ударной волны.

Для определения $\Psi(A)$ на фиг. 3 построен график зависимости

$$M = \sqrt{\frac{\Delta p}{\rho a^2}} r^y \text{ от } V A$$

С хорошей степенью точности кривую на графике можно описать тремя степенными формулами, использование которых позволяет получить зависимость максимального давления ударной волны от расстояния и свойств источника взрыва

$$\begin{aligned} \frac{\Delta p}{\rho a^2} &= F_1 \left(\frac{r}{A} \right) & (10^{-4} \leq A \leq 10^{-3}) \\ \frac{\Delta p}{\rho a^2} &= F_2 \left(\frac{r}{A^{2/3}} \right) & (10^{-3} \leq A \leq 0.015) \\ \frac{\Delta p}{\rho a^2} &= F_3 \left(\frac{r}{A^{1/2}} \right) & (0.015 \leq A \leq 4.5) \end{aligned} \quad (8)$$

Пользуясь законом энергетического подобия, для взрыва в воздухе, в тех же обозначениях можно написать

$$\frac{\Delta p}{\rho a^2} = F_4 \left(\frac{r}{A^{1/3}} \right) = F_4 \left[\left(\frac{4}{3} \pi \right)^{1/3} \frac{R}{R_*} \right] \quad (9)$$

Следовательно, при взрыве в воздухе и в воде относительное давление $\Delta p / \rho a^2$ зависит лишь от одного параметра R^*

$$R^* = \beta A^\alpha r \quad (10)$$

Показатель степени α меняется с изменением плотности энергии взрыва A , однако, согласно (8) и (9) существует четыре диапазона в которых α можно считать постоянной и которые назовем областями эмпирического подобия

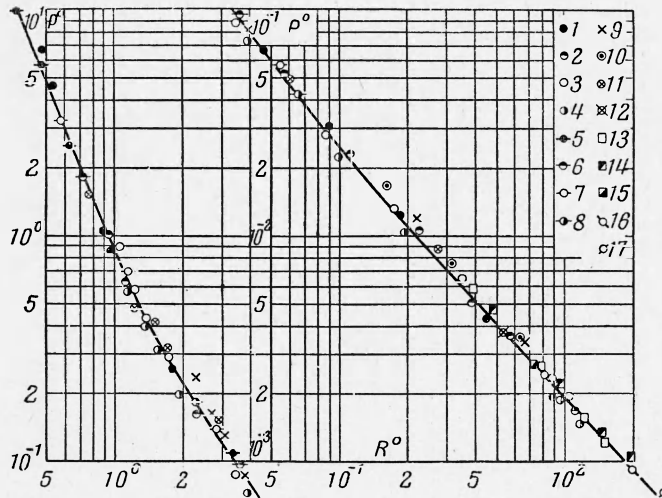
$$\begin{aligned} (I) \quad \alpha &= -1 \quad (10^{-4} \leq A \leq 10^{-3}) & (III) \quad \alpha &= -1/2 \quad (0.015 \leq A \leq 4.5) \\ (II) \quad \alpha &= -2/3 \quad (0.001 \leq A \leq 0.015) & (IV) \quad \alpha &= -1/3 \quad (10^4 \leq A \leq 10^5) \end{aligned} \quad (11)$$

Взрывы точечных источников в воде и ВВ в воздухе удовлетворяют подобию типа IV, взрыв ВВ в воде типа III.

Подводный взрыв заряда в воздушной полости в зависимости от плотности энергии взрыва A подчиняется I, II или III типу эмпирического подобия.

Границы областей эмпирического подобия при подводном взрыве были найдены в точках пересечения отрезков прямых с постоянным наклоном α на фиг. 3. Границу

между третьей и четвертой областями подобия не удалось установить из-за отсутствия экспериментальных данных в этом диапазоне.



Фиг. 4. Зависимость максимального давления ударной волны $p^o = \Delta p / pa^2$ от приведенного расстояния R^o при подводном взрыве; 1—4 — взрыв зарядов из тэнна с $\rho_0 = 1600$ и $850 \text{ кг}/\text{м}^3$ и азота свинца с $\rho_0 = 1600$ и $850 \text{ кг}/\text{м}^3$ в воде соответственно; 5—8 — взрыв тех же ВВ в воздухе; 9—17 — взрывы в воде зарядов из тэнна в сферических полостях с воздухом соответственно: $R_0 = 1.25 \text{ см}$, $cQ = 1.17 \text{ ккал}$; $R_0 = 1.85 \text{ см}$, $cQ = 3.32 \text{ ккал}$; $R_0 = 1.25 \text{ см}$, $cQ = 3.5 \text{ ккал}$; $R_0 = 1.85 \text{ см}$, $cQ = 1.18 \text{ ккал}$; $R_0 = 1.85 \text{ см}$, $cQ = 0.59 \text{ ккал}$; $R_0 = 4.17 \text{ см}$, $cQ = 1.12 \text{ ккал}$; $R_0 = 4.37 \text{ см}$, $cQ = 0.56 \text{ ккал}$; $R_0 = 8 \text{ см}$, $cQ = 1.12 \text{ ккал}$; $R_0 = 12 \text{ см}$, $cQ = 1.12 \text{ ккал}$.

На фиг. 4 построен график зависимости максимального давления ударной волны от приведенного расстояния в координатах ($p^o = \Delta p / pa^2$, R^o) при взрыве в воде и в воздухе. С точностью до разброса экспериментальные данные за исключением области $r < 15$ при взрыве в воздухе ложатся на кривую, которую можно описать эмпирической формулой

$$p^o = \frac{0.45}{R^{3.5}} + \frac{0.05}{R^{2.5}} + \frac{0.48}{R^o \sqrt{\ln R^o + 1.75}} \quad (12)$$

где

$$\begin{aligned} R^o &= 0.041rA^{-1} & (10^{-4} \leq A \leq 10^{-3}) \\ R^o &= 0.5rA^{-1/3} & (10^{-3} \leq A \leq 0.015) \\ R^o &= rA^{-1/2} & (0.015 \leq A \leq 4.5) \\ R^o &= 0.778rA^{-1/3} & (\text{При взрыве ВВ в воздухе}) \end{aligned}$$

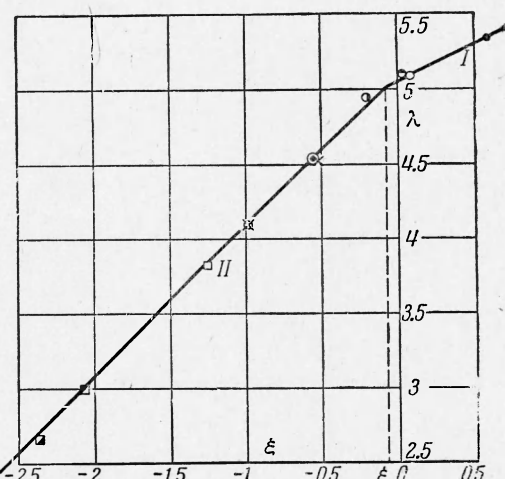
Коэффициенты (β) в формуле (10) определялись в точках пересечения кривых подобия типов I, II и IV с типом III на фиг. 3.

Из анализа экспериментальных данных [1] следует, что зависимость удельного импульса от расстояния и размера источника имеет вид

$$I / R_0 = Br^{-s}$$

где $s = 1 \div 0.9$, а B зависит от свойств источника.

10 ПМТФ, № 2



Фиг. 5. График, определяющий область физического подобия по удельному импульсу ударной волны при подводном взрыве.

Предположим, что $B = B(A)$. Для определения $B(A)$ на фиг. 5 построен график, по координатным осям которого отложены

$$\lambda = \lg \left(\frac{I}{R_0} r^s \right), \quad \xi = \lg A^s$$

Функцию $B(A)$ можно описать двумя степенными зависимостями

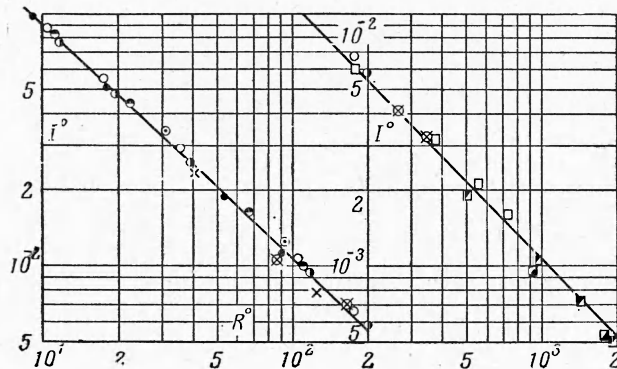
$$0.6 \leq A \leq 4.5, \quad B(A) = A^{s/2} \text{ — взрыв в воде ВВ} \quad (13)$$

$$0.004 \leq A \leq 0.6, \quad B(A) = A^s \text{ — подводный взрыв в воздушной полости}$$

В соответствии с (13)

$$I / R_0 = f(rA^{-1/2}) \quad (0.6 \leq A \leq 4.5), \quad I / R_0 = f_1(rA^{-1}) \quad (0.004 \leq A \leq 0.6) \quad (14)$$

Зависимость приведенного удельного импульса $I^\circ = I / R_0 \rho_a$ от расстояния R° показана на фиг. 6, где



Фиг. 6. Зависимость удельного импульса $I^\circ = I / R_0 \rho_a$ от приведенного расстояния R° при подводном взрыве

$$R^\circ = rA^{-1/2} \quad (0.6 \leq A \leq 4.5)$$

$$R^\circ = 0.95 rA^{-1} \quad (0.004 \leq A \leq 0.6)$$

Все экспериментальные данные о удельном импульсе при взрыве любых источников в воде в этих координатах ложатся на одну кривую, которую можно описать формулами (15)

$$I^\circ = \frac{0.75}{(R^\circ)^{0.92}} \quad (R^\circ < 100),$$

$$I^\circ = \frac{1.12}{R^\circ} \quad (R^\circ > 100)$$

Зависимость удельной энергии $\varepsilon = E / cQ$ ударной волны при взрыве в воде от плотности энергии [взрыва] получена так же, как и для импульса ударной волны.

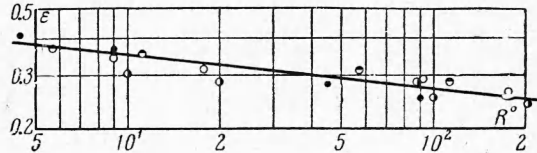
При взрыве ВВ в воде (16)

$$\varepsilon = \frac{0.45}{(rA^{-1/2})^{0.11}} \quad (0.6 \leq A \leq 4.5)$$

При взрыве в полости

$$\varepsilon = \frac{0.99}{(rA^{-5.2})^{0.14}} \quad (17)$$

На фиг. 7 приведен график зависимости $\varepsilon = f(R^\circ)$ при подводном взрыве ВВ, где $R^\circ = rA^{-1/2}$



Фиг. 7. Зависимость приведенной энергии $\varepsilon = E / cQ$ ударной волны от расстояния $R^\circ = rA^{-1/2}$ при подводном взрыве ВВ

Все экспериментальные данные ложатся на одну кривую (16).

Автор благодарит В. Н. Костюченко за обсуждение и ценные советы.

Поступила 29 X 1962

ЛИТЕРАТУРА

- Христофоров Б. Д. Параметры ударной волны и газового пузыря при подводном взрыве зарядов разной плотности из тэна и азида свинца. ПМТФ, 1961, № 4.
- Христофоров Б. Д. Параметры ударной волны при взрыве в воздухе зарядов из тэна и азида свинца разной плотности. ПМТФ, 1961, № 6.
- Христофоров Б. Д. Подводный взрыв в воздушной полости. ПМТФ, 1962, № 6.
- Садовский М. А. Механическое действие воздушных ударных волн. АН СССР. Сб. Физика взрыва, 1952, № 1.